



## تحلیل ضربه کم سرعت ورق مستطیلی ساندویچی با رویه‌های کامپوزیتی تقویت شده با سیم‌های آلیاژ حافظه‌دار و هسته آگزتیکی انعطاف‌پذیر

محمد شرعیات<sup>1\*</sup>، سیدحسین حسینی<sup>2</sup>

۱- استاد مهندسی مکانیک، دانشگاه صنعتی خواجه نصیرالدین طوسی، تهران

۲- دانشجوی دکترا، مهندسی مکانیک، دانشگاه صنعتی خواجه نصیرالدین طوسی، تهران

\* تهران، صندوق پستی 193951999

shariyat@kntu.ac.ir

### اطلاعات مقاله

مقاله پژوهشی کامل

دریافت: ۱۵ دی ۱۳۹۶

پذیرش: ۰۳ فوریه ۱۳۹۷

ارائه در سایت: ۲۳ فوریه ۱۳۹۷

کلید واژگان:

آلیاژ حافظه‌دار

کسر جرمی مارتزیت

پاسخ ضربه

ورق ساندویچی کامپوزیتی

هسته آگزتیکی انعطاف‌پذیر

**چکیده**  
در این مقاله به بررسی اثر آلیاژ حافظه‌دار بر پاسخ ضربه کم سرعت ورق ساندویچی مستطیلی با رویه‌های کامپوزیتی و هسته آگزتیکی انعطاف‌پذیر از طریق ارائه و به کارگیری یک تئوری کلی-محلي هایپربولیک مرتبه بالای جدید پرداخته شده است. برای استخراج نتایج دقیق، توزیع غیریکنواخت ووابسته به زمان برای فازهای ماده هوشمند آلیاژ حافظه‌دار و همچنین جابه‌جایی عرضی برای هسته انعطاف‌پذیر در نظر گرفته شده است. علاوه‌بر این به جای استفاده از قانون متداول هرتز از قانون تماس اصلاح شده است و قوانین تماس مختلفی برای فازهای بارگذاری و باربرداری در نظر گرفته شده‌اند. آثار سفتی همه لایه‌ها به همراه ضخامت ورق بر سفتی تماس در نظر گرفته شده است. معادلات حاکم المان محدود غیرخطی حاصل شده با استفاده از یک الگوریتم تکرارشونده در هر گام زمانی حل شدند. نتایج تحلیل حاضر با نتایج تجربی مراجع دیگر مقایسه و صحت نتایج حاضر مورد تأیید قرار گرفته است. در انتها اثر هسته آگزتیکی، اثر ضربه پواسن هسته، اثر سیم‌های آلیاژ حافظه‌دار و اثر انرژی ضربه زننده بر پاسخ ضربه ورق ساندویچی کامپوزیتی، مورد بررسی قرار گرفته است. نتایج تحلیل نشان می‌دهند که هسته آگزتیکی باعث افزایش سفتی ظاهری ناحیه تماس می‌شود که نتیجه آن افزایش نیروی برخورد و کاهش خیز و مدت زمان برخورد است. همچنین خاصیت سوپر الاستیسیته آلیاژ حافظه‌دار باعث می‌شود که این آلیاژ در حین ضربه با تشکیل حقه هیسترزیس انرژی زیادی را جذب کند که این امر باعث بیهود مقاومت به ضربه ورق ساندویچی و کاهش آسیب ناشی از ضربه می‌گردد.

## Low-velocity Impact Analysis of Rectangular Sandwich Plates with Composite Face Sheets Reinforced by SMA Wires and Soft Auxetic Cores

Mohammad Shariyat\*, Seyedhossein Hosseini

Department of Mechanical Engineering, Khajeh Nasir Toosi University of Technology, Tehran, Iran  
\* P.O.B. 193951999 Tehran, Iran, shariyat@kntu.ac.ir

### ARTICLE INFORMATION

Original Research Paper

Received 05 January 2018

Accepted 23 March 2018

Available Online 12 April 2018

### ABSTRACT

In the present paper, effect of the shape memory alloy on low-velocity impact response of rectangular sandwich plates with composite face sheets and soft auxetic cores is investigated using a new higher-order global-local hyperbolic plate theory. To obtain accurate results, non-uniform and time-dependent distributions of the SMA phases and the transverse compliance of the soft core are considered. Also, a refined contact law is proposed instead of using the traditional Hertz law and different contact laws are considered for the loading and unloading phases. Effects of stiffness of all layers along with the plate thickness on the contact stiffness are taken into account. The obtained nonlinear finite element governing equations are solved by making use of an iterative algorithm at each time step. The results of the present study are compared with the experimental results of other references, and it is proven that the results are valid. Finally, the effect of auxetic core, core Poisson's ratio, SMA wires, and indenter energy on impact response of the composite sandwich plate are investigated. The results show that the auxetic core increases the apparent stiffness of the contact area and consequently an increase in the impact forces and a decrease in the lateral deflection and impact time duration. Besides, the SMA can absorb a remarkable portion of the stored impact-induced strain energy due to the superelastic and hysteretic natures of the SMA material, which results in increasing the impact strength of the sandwich plate and decreasing the damage caused by the impact.

می‌شوند و هسته این سازه می‌تواند از پلیمرهای سبک، فوم‌ها، سازه‌های لانه

زنیوری یا مواد با خاصیت توزیع تابعی تشکیل شوند. سازه‌های ساندویچی کامپوزیتی با وجود کاربرد روزافزون در صنایع مختلف در برابر بارهای ضربه‌ای تشکیل شده‌اند. رویه‌ها معمولاً از ورق‌های کامپوزیتی [1] یا فلزی [2] ساخته

### 1- مقدمه

سازه‌های ساندویچی از دو رویه سفت و قوی و یک هسته نرم و انعطاف‌پذیر

تعیین خواص آلیاژ حافظه دار و نیروی بازیابی آن ثابت در نظر گرفته شده است. در این مقاله توزیع غیریکنواخت و وابسته به زمان به جای روش های توزیع یکنواخت کسر حجمی مارتنتزیت یا استفاده از تنش بازیابی ساده برای فازهای سیم های آلیاژ حافظه دار به طور دقیق در نظر گرفته شده است. یک تئوری کلی- محلی هایپرولیک مرتبه بالا جدید که هم شامل توابع زوج و هم شامل توابع فرد است و کاملاً مناسب تغییرات عرضی نامترنخ خواص مواد ارائه شده است. با توجه به ضخامت زیاد هسته و نرم بودن آن در نظر نگرفتن انعطاف پذیری عرضی هسته موجب نتایج غیرواقعی و غیردقیق خواهد شد. جاهه جایی عرضی هسته چهت دستیابی به نتایج دقیق با کمترین خطای ممکن در نظر گرفته شده است. از قانون تماس اصلاح شده به جای استفاده از قانون متداول هرتز استفاده شده است و قوانین تماس مختلفی برای فارهای بارگذاری و با برداری در نظر گرفته شده اند. آثار سفتی همه لایه ها به همراه ضخامت ورق بر سفتی تماس در نظر گرفته شده است. در انتها نیز اثر هسته آگزتیکی، اثر ضربه پواسون هسته، اثر سیم های آلیاژ حافظه دار و اثر انرژی ضربه زننده بر پاسخ ضربه ورق ساندویچی کامپوزیتی مورد بررسی قرار گرفته اند.

## 2- روابط حاکم بر مسئله

### 2-1- مدل سازی رفتار آلیاژ حافظه دار

در این پژوهش جهت مدل سازی رفتار آلیاژ حافظه دار از مدل تک بعدی برینسون [24] استفاده شده است. معادله بنیادین آلیاژ حافظه دار که توسط برینسون ارائه شده به صورت رابطه (1) است.

$$\sigma - \sigma_0 = E(\xi)(\varepsilon - \varepsilon_0) + \Omega(\xi)(\xi_{50} - \xi_{50}) \quad (1)$$

در آن  $\xi$  کسر حجمی مارتنتزیت غیردوقلویی (مارنتزیت ناشی از تنش) است.  $\Omega$  ضربی استحاله فازی بوده و در اثر تنش های پسماند ایجاد شده به واسطه اثر حافظه داری به دست می آید. زیرنویس صفر نشان دهنده کرنش و کسر حجمی مارتنتزیت اولیه است و مدول الاستیستیه طبق قانون وویت (قانون مخلوطها) به صورت رابطه (2) با کسر حجمی آلیاژ حافظه دار ارتباط دارد.

$$E(\xi) = E_A + \xi(E_M - E_A), \quad \Omega(\xi) = -\varepsilon_0 E(\xi) \quad (2)$$

$E_A$  و  $E_M$  به ترتیب مدول یانگ آلیاژ حافظه دار در فازهای استینیت و مارتنتزیت بوده و عموماً توسط آزمایش تنش- کرنش در محدوده الاستیک به دست می آید، همچنین  $E$  حداکثر کرنش قابل بازیابی آلیاژ حافظه دار است. در قانون جنبشی مورد استفاده در این مدل ها کسر حجمی مارتنتزیت به صورت تابعی از تنش و دما بیان می شود. برینسون معادلات جنبشی خود را برای فرایند های تبدیل مارتنتزیت غیردوقلویی به آستینیت و بالعکس در مدهای ثابت مختلف ارائه داد که در روابط (5-3) آورده شده است.

برای استحاله آستینیت به مارتنتزیت غیردوقلویی

$$\sigma_s^{cr} + C_M(T - M_s) < \sigma < \sigma_f^{cr} + C_M(T - M_s) \quad (3)$$

$$\xi = \frac{1 - \xi_0}{2} \times \cos \left\{ \frac{\pi}{\sigma_s^{cr} - \sigma_f^{cr}} [\sigma - \sigma_f^{cr} - C_M(T - M_s)] \right\} + \frac{1 + \xi_0}{2} \quad (3)$$

رابطه (4) برای  $\sigma_s^{cr} < \sigma < \sigma_f^{cr}$  و  $T > M_s$

$$\xi = \frac{1 - \xi_0}{2} \times \cos \left[ \frac{\pi}{\sigma_s^{cr} - \sigma_f^{cr}} (\sigma - \sigma_f^{cr}) \right] + \frac{1 + \xi_0}{2} \quad (4)$$

برای استحاله مارتنتزیت غیردوقلویی به آستینیت:

$$C_A(T - A_f) < \sigma < C_A(T - A_s) \quad (5)$$

بسیار آسیب پذیر هستند. این ضعف را می توان با به کار گیری مواد هوشمند آلیاژ حافظه دار در این سازه ها بهبود بخشید. آلیاژ های حافظه دار به شکل سیم [3]، الیاف کوتاه [4]، پارچه بافت شده [5] و صolle درجهت خدمت [6]، نانو الیاف، لایه های نازک و غیره [7] می توانند در ساختار یک کامپوزیت جاسازی یا پیوند زده شوند و یک کامپوزیت حافظه دار را به وجود آورند. تحقیقات صورت گرفته در سال های اخیر بر کامپوزیت های آلیاژ حافظه دار رشد چشمگیری داشته است و در زمینه های مختلف پژوهش هایی به چشم می خورد. در تحقیقات انجام شده اثرات آلیاژ های حافظه دار بر ویژگی های مختلفی مانند سفتی، استحکام، چقرمگی شکست، کاهش آسیب و غیره مورد بررسی قرار گرفته است [11-8]. آلیاژ های حافظه دار می توانند در اثر افزایش دما تحت یک استحاله فازی برگشت پذیر جامد به شکل اولیه خود بازگردند [12]. این مواد تحت بارگذاری سیکلی مکانیکی می توانند انرژی مکانیکی را از طریق ایجاد حلقه برگشت پذیر هیسترزیس جذب و یا تلف کنند [12]. عامل مهم در تعیین خواص آلیاژ حافظه دار کسر حجمی مارتنتزیت که خود تابعی از تنش و دماست.

بانگدونگ و همکاران [13] رفتار تیر کامپوزیتی تقویت شده با آلیاژ حافظه دار را در برابر ضربه سرعت پایین به وسیله روش المان محدود و روش های عددی بررسی کردند. کیدوای و لاگوداس [14] یک مدل ترمومکانیکی سه بعدی را برای پیش بینی آسیب لایه های نازک آلیاژ های حافظه دار جاساز شده در سازه های کامپوزیتی با استفاده از فرضیات تنش صفحه ای پیشنهاد دادند. کیم و همکاران [15] اثر فیلم های نازک آلیاژ حافظه دار جاساز شده در ورق های کامپوزیتی را در بهبود مقاومت آسیب سازه های کامپوزیتی تحت ضربه کم سرعت به صورت عددی مورد بررسی قرار دادند. پین و راجرز [16] مقاومت در برابر آسیب کامپوزیت های با آلیاژ حافظه دار را تحت ضربه کم سرعت و ضربه سرعت بالا مورد مطالعه قرار داده اند. وو و همکاران [17] اثر سوپرالاستیک آلیاژ حافظه دار در بهبود مقاومت در برابر ضربه کم سرعت یک ورق کامپوزیتی تک لایه را با استفاده از روش المان محدود مورد بررسی قرار دادند. در این تحقیق از قانون تماس هرتز استفاده شده است. چند محقق دیگر [19, 18] نیز رفتار ضربه ای ورق های کامپوزیتی هیبرید با آلیاژ حافظه دار را با استفاده از روش های حل عددی مورد بررسی قرار داده اند. آن ها خیلی ساده تنها یک تنش بازیابی ثابت را برای آلیاژ حافظه دار در نظر گرفته اند. بیرون [20] نشان داد که با استفاده از خاصیت حافظه داری الیاف حافظه دار می توان بار کمانش ورق های ساندویچی را افزایش داد. او در تحقیقش الیاف حافظه دار را در صفحه میانی هسته قرار داد و از تغییر فاز الیاف حافظه دار صرف نظر نمود و از تنفسی بر شی مرتبه اول برای تحلیل کل سازه استفاده کرد. شرعیات و حسینی [21] اثر هسته ویسکوالاستیک بر پاسخ ضربه کم سرعت ورق ساندویچی کامپوزیتی را از طریق ارائه و به کار گیری یک تنوری کلی- محلی تعمیم یافته را برای دادند. شرعیات [22] تنوری مرتبه بالای کلی- محلی تعمیم یافته را برای بروزی خمش و ارتعاشات ورق های ساندویچی تحت بارهای حرارتی- مکانیکی ارائه کرد. چالاک و همکاران [23] یک مدل دوبعدی المان محدود را براساس تئوری زیگراگ مرتبه بالا برای تحلیل ورق های چند لایه و ساندویچی ارائه دادند.

کارهای انجام شده در زمینه به کار گیری مدل های تنوری برای ورق های ساندویچی کامپوزیتی دارای سیم های حافظه دار بسیار محدود هستند. مدل سازی رفتار آلیاژ حافظه دار در بیشتر این پژوهش ها به صورت مناسبی صورت نگرفته است، چرا که کسر حجمی مارتنتزیت که عامل مهمی است در

درونو صفحه ای و جهت عرضی خارج از صفحه است. در مختصات هندسی ورق که زاویه الیاف با محور  $x$  است، می توان با به کار گیری ماتریس های انتقال دورانی معادله (6) را به شکل رابطه (8) بیان کرد.

$$\sigma^{(k)} = \hat{C}^{(k)} \varepsilon^{(k)} \quad (8)$$

رابطه (9) در آن به صورت زیر است.

$$\begin{aligned} \sigma^T &= (\sigma_x \ \sigma_y \ \sigma_z \ \tau_{yz} \ \tau_{zx} \ \tau_{xy}), \\ \varepsilon^T &= (\varepsilon_x \ \varepsilon_y \ \varepsilon_z \ \gamma_{yz} \ \gamma_{zx} \ \gamma_{xy}) \end{aligned} \quad (9)$$

با در نظر گرفتن رابطه تنش-کرنش برای تک لایه کامپوزیتی و با توجه به رابطه بنیادین ارائه شده در مدل تک بعدی کامپوزیت برای آلیاژ حافظه دار و جمله ای حاوی ضربه استحالة فازی در آن، رابطه (1)، بیانگر اعمال نیروی بازیابی درون صفحه ای به کل سازه است و نیز توجه به ثابت بودن دما، رابطه تنش-کرنش در مختصات مادی برای تک لایه ورق کامپوزیت تقویت شده با آلیاژ حافظه دار به صورت رابطه (10) در می آید.

$$\hat{\sigma}^{(k)} = \hat{C}^{(k)} \hat{\varepsilon}^{(k)} - \begin{Bmatrix} V_s E_s \xi \varepsilon_L \\ 0 \\ 0 \\ 0 \\ 0 \\ 0 \end{Bmatrix}^{(k)} \quad (10)$$

در آن  $V_s$  و  $E_s$  به ترتیب کسر حجمی و مدول الاستیسیته آلیاژ حافظه دار هستند. در مختصات هندسی ورق که زاویه الیاف با محور  $x$  است، می توان با به کار گیری ماتریس های انتقال دورانی رابطه (11) را به شکل زیر بیان کرد.

$$\sigma^{(k)} = \hat{C}^{(k)} \varepsilon^{(k)} - \begin{Bmatrix} V_s E_s \xi \varepsilon_L \cos^2 \theta \\ V_s E_s \xi \varepsilon_L \sin^2 \theta \\ k_s E_s \xi \varepsilon_L \sin \theta \cos \theta \\ 0 \\ 0 \\ 0 \end{Bmatrix}^{(k)} \quad (11)$$

از آن جا که الیاف آلیاژ حافظه دار هم راستا با الیاف کامپوزیتی در نظر گرفته می شوند، جهت محورهای اصلی مواد تغییری نمی کند. برای به دست آوردن خواص مؤثر لایه کامپوزیتی دارای الیاف آلیاژ حافظه دار از روابط ارائه شده توسط بیرون [18] استفاده می شود که در روابط (12) آورده شده است.

$$\begin{aligned} E_l(\xi) &= (1 - V_s)(E_l)_c + V_s E_s(\xi) \\ E_t(\xi) &= (E_t)_c / [1 - \sqrt{V_s}[1 - (E_t)_c/E_s(\xi)]] \\ G_{lt}(\xi) &= (G_{lt})_c G_s(\xi) / [(1 - V_s)G_s(\xi) + V_s(G_{lt})_c] \\ v_{lt} &= (1 - V_s)(v_{lt})_c + V_s v_s \\ \rho &= V_c \rho_c + V_s \rho_s \end{aligned} \quad (12)$$

در آن زیرنویس های  $s, t, c$  و  $t$  به ترتیب بیانگر آلیاژ حافظه دار، کامپوزیت و جهات موازی و عمود بر الیاف آلیاژ حافظه دار هستند.

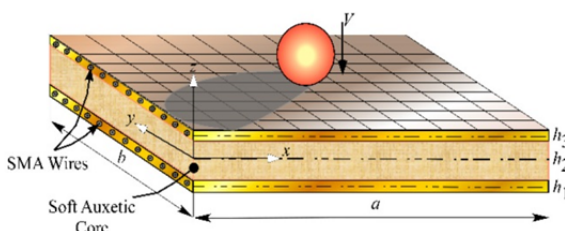


Fig. 1 The geometric parameters of the composite sandwich plate with embedded SMA wires and soft auxetic core and the indenter

شکل ۱ پارامترهای هندسی ورق ساندویچی کامپوزیتی حاوی سیم های آلیاژ حافظه دار و هسته آگزیتیکی انعطاف پذیر و ضربه زننده

$$\xi = \xi_{s0} - \frac{\xi_{s0}}{\xi_0} \left( \xi_0 - \frac{\xi_0}{2} \times \left\{ \cos \left[ \frac{\pi}{A_f - A_s} \left( T - A_s - \frac{\sigma}{C_A} \right) \right] + 1 \right\} \right) \quad (5)$$

که در آن  $T$  دما،  $A_s$  و  $M_s$  دمای های آغاز و  $A_f$  دمای پایان استحاله آستینتی و مارتینزیتی بوده و ثوابت  $C_m$  و  $C_A$  از ویژگی های ماده آلیاژ حافظه دار هستند که رابطه بین دمای های تبدیل و تنش های بحرانی را نشان می دهند و همان شبکه های منحنی های تنش-دما متناظر است.  $\sigma_t^{cr}$  و  $\sigma_s^{cr}$  به ترتیب تنش بحرانی برای شروع و پایان تغییر فاز از آستینت به مارتینزیت غیردو قوی است.

## 2-2- رابطه تنش-کرنش در لایه های ورق ساندویچی کامپوزیتی تقویت شده با سیم های آلیاژ حافظه دار

در این بخش معادله تنش-کرنش حاکم بر رویه های کامپوزیتی ورق ساندویچی که توسط آلیاژ حافظه دار تقویت شده اند به دست می آید. بدینهی است که معادلات به دست آمده برای هسته ورق ساندویچی نیز معتبر بوده و تنها کافی است که در روابط به دست آمده کسر حجمی آلیاژ حافظه دار را صفر و ویژگی های ماده در جهات مختلف را یکسان قرار داد.

ابعاد ورق ساندویچی مورد بررسی و مشخصات ضربه زننده در شکل ۱ نشان داده شده اند. طول و عرض و ضخامت کل ورق ساندویچی به ترتیب توسط  $a$ ،  $b$  و  $h = h_1 + h_2 + h_3$  داده می شود.  $h_1$  و  $h_2$  و  $h_3$  به ترتیب ضخامت رویه پایینی، هسته و رویه بالایی ورق ساندویچی است. سرعت اولیه و شعاع ضربه زننده به ترتیب برابر با  $V$  و  $R$  است. مبدأ مختصات عرضی در لایه میانی هسته (و نه لزوماً لایه میانی ورق ساندویچی) است و جهت مثبت آن به سمت بالا فرض می گردد.

رابطه تنش-کرنش لایه  $k$ -ام کامپوزیتی ارتو تراپیک ورق ساندویچی در مختصات اصلی مواد به صورت رابطه (6) نوشته می شود.

$$\Rightarrow \hat{\sigma}^{(k)} = \hat{C}^{(k)} \hat{\varepsilon}^{(k)} \quad (6)$$

مؤلفه های ماتریس سفتی از طریق روابط (7) بر حسب خواص مؤثر لایه کامپوزیتی در جهات طولی و عرضی به دست می آیند [25].

$$\begin{aligned} C_{11}^{(k)} &= \frac{1 - v_{23}^{(k)} v_{32}^{(k)}}{E_2^{(k)} E_3^{(k)} \Delta^{(k)}}, C_{22}^{(k)} = \frac{1 - v_{13}^{(k)} v_{31}^{(k)}}{E_1^{(k)} E_3^{(k)} \Delta^{(k)}}, C_{44}^{(k)} = G_{23}^{(k)}, \\ C_{13}^{(k)} &= \frac{v_{31}^{(k)} + v_{21}^{(k)} v_{32}^{(k)}}{E_2^{(k)} E_3^{(k)} \Delta^{(k)}}, C_{55}^{(k)} = G_{31}^{(k)}, \\ C_{12}^{(k)} &= \frac{v_{21}^{(k)} + v_{31}^{(k)} v_{23}^{(k)}}{E_2^{(k)} E_3^{(k)} \Delta^{(k)}}, C_{66}^{(k)} = G_{12}^{(k)}, \\ C_{23}^{(k)} &= \frac{v_{32}^{(k)} + v_{12}^{(k)} v_{31}^{(k)}}{E_1^{(k)} E_2^{(k)} \Delta^{(k)}}, \frac{v_{ij}^{(k)}}{E_i^{(k)} E_j^{(k)}} = \frac{v_{ji}^{(k)}}{E_j^{(k)} E_i^{(k)}}, \\ \Delta^{(k)} &= \frac{1 - v_{12}^{(k)} v_{21}^{(k)} - v_{23}^{(k)} v_{32}^{(k)} - v_{13}^{(k)} v_{31}^{(k)} - 2 v_{21}^{(k)} v_{32}^{(k)} v_{13}^{(k)}}{E_1^{(k)} E_2^{(k)} E_3^{(k)}}, \\ C_{33}^{(k)} &= \frac{1 - v_{12}^{(k)} v_{21}^{(k)}}{E_1^{(k)} E_2^{(k)} \Delta^{(k)}} \quad (7) \end{aligned}$$

در آن  $v$ ،  $E$  و  $G$  به ترتیب مدول یانگ، نسبت پواسون و مدول برشی بوده و  $1, 2$  و  $3$  به ترتیب نشان دهنده جهت الیاف، جهت عرضی

ضخامت لایه  $k$ -ام است. تغییر شکل دائمی در نواحی اطراف ضربه حتی در بارهای تماشی کم ظاهر می شود و در نتیجه فاز باربرداری به طور قابل ملاحظه ای متفاوت از فاز بارگذاری خواهد بود. در این مقاله برای مرحله باربرداری، قانون تماس هرتز ببینو یافته توسط یانگ و سان [28] ارائه شده و براساس آن نیروی تماس توسط رابطه (19) محاسبه می گردد.

$$F_c = F_{\max} \left[ \frac{\beta - \beta_0}{\beta_{\max} - \beta_0} \right]^{\frac{5}{2}} \quad (19)$$

در آن  $F_{\max}$  نیروی تماس بیشینه،  $\beta_{\max}$  نفوذ بیشینه ناشی از نیروی تماس بیشینه و  $\beta_0$  میزان نفوذ دائمی در صورت وجود است.

#### 2-4- تئوری ورق ارائه شده

خواص غیرایزوتوپیک رویدهای کامپوزیتی در صفحه (ناهمسان گردی درون صفحه ای)، تفاوت خواص رویدهای و هسته در سازه های ساندویچی و خواص متباخت آلیاژ های حافظه دار سبب پیچیدگی مطالعه رفتار ورق های ساندویچی کامپوزیتی حاوی سیم های آلیاژ حافظه دار می شود.

وجود ویژگی های مکانیکی متباخت سبب می شود که میدان های جابه جایی در راستای ضخامت از خود تغییرات شیب بسیار محسوسی در محل تماس لایه ها نشان دهند. این اثر به شکل زیگزاگ میدان جابه جایی در راستای ضخامت معروف است. تنش های درون صفحه ای در سطح تماس لایه ها ناپیوسته هستند. با این وجود تنش های عرضی جهت حفظ تعادل باید در سطح تماس لایه ها پیوسته باشند. این پدیده به پیوستگی بین لایه های تنش های عرضی معروف است. در واقع جابه جایی ها و تنش های عرضی به دلیل الزامات سازگاری و تعادل توابعی با پیوستگی  $C^0$  در راستای ضخامت  $Z$  هستند. الزامات  $C^0$  از جمله موارد بسیار مهمی است که باید در هر تئوری مرتبط با صفات مركب برآورده گردد.

اگرچه تاکنون مدل ها و تئوری های زیادی برای تحلیل سازه های چندلایه و ساندویچی ارائه گشته است، با این حال مرور کارهای انجام شده توسط محققان نشان می دهد که کاسته هایی در این راستا مطرح است.

در تئوری های تک لایه معادل جابه جایی ها به صورت توابعی از راستای ضخامت در نظر گرفته می شوند که سبب می شود کرنش های عرضی به صورت پیوسته به دست آیند، ولی تنش های عرضی در مرز مشترک بین لایه ها (تش های بین لایه ای) ناپیوسته است. در این تئوری ها از پیوستگی تنش های بین صفحه ای صرف نظر می شود و همچنین اثرات زیگزاگ در سطوح تماس بین لایه ها نیز در نظر گرفته نمی شود. برای چندلایه های نازک خطای مربوط به ناپیوسته شدن تنش های بین لایه ای قابل صرف نظر کردن است. در حالی که برای چندلایه های ضخیم به خصوص برای پنل های ساندویچی، استفاده از این تئوری ها دارای خطای ملاحظه ای خواهد بود. ارائه و توسعه تئوری های تک لایه معادل مرتبه بالا ت حدودی خطای ناشی از بالا بودن ضخامت در سازه های همگن را کاهش داده است، اما به طور کلی تئوری های تک لایه معادل (با مرتبه ای) به دلیل ناهمسان گردی عرضی ناشی از تفاوت سفتی لایه های ورق ساندویچی کامپوزیتی حاوی سیم های آلیاژ حافظه دار برای تحلیل این سازه ها مناسب نیست.

در تئوری های لایه ای اگرچه مشکلات ناشی از ناهمسان گردی عرضی مرفتفع می شود، اما حجم محاسبات به دلیل واپستگی مجھولات مسأله به تعداد لایه ها افزایش می یابد.

تلاش برای اصلاح نواقص تئوری های تک لایه معادل (اثرات زیگزاگ، پیوستگی جابه جایی و تنش های بین لایه ای) و تئوری های لایه ای (واپستگی

#### 2-3- قانون تماس اصلاح شده

تغییر شکل محلی در ناحیه تماس با تئوری های تیر، ورق و پوسته مدل نمی شود؛ چراکه این در این تئوری ها معمولاً فرض می شود که سازه در راستای جانبی تراکم ناپذیر است. با این وجود در بسیاری از موارد نفوذ محلی اثر قابل ملاحظه ای بر تاریخچه نیروی تماس دارد و در نتیجه باید در تحلیل در نظر گرفته شود. پدیده ضربه برای بیشتر سازه های کامپوزیتی چندلایه به صورت پدیده ای که مستقل از نرخ تغییرات است، شناخته می شود؛ و در نتیجه بیشتر محققان قوانین تماس به دست آمده از روش استاتیکی را مورد استفاده قرار می دهند. بیشتر مدل های ضربه بر مبنای قانون تماس هرتز هستند. قانون هرتز از تحلیل الاستیسیته استاتیکی تماس بین ضربه زن کروی و نیم فضای الاستیک به دست می آید که در آن تغییر شکل های دائمی ناشی از آسیب در نظر گرفته نمی شوند. برای مراحل ابتدایی فرایند بارگذاری قانون تماس هرتز برای بیشتر موارد دقیق است. در این تحقیق از قانون تماس هرتز به منظور یافتن ارتباط میان نیروی تماس و میزان فروروی ضربه زننده استفاده شده است. طبق این قانون ناحیه تماس بدون اصطکاک فرض می شود. قانون هرتز از تحلیل سطح تماس بین دو جسم را به صورت رابطه (13) در اختیار قرار می دهد.

$$F_c = K_c \beta^{\frac{3}{2}} \quad (13)$$

در آن  $K$  سختی ناحیه تماس و  $\beta$  میزان فروروی به صورت رابطه (14) است.

$$K_c = \frac{4}{3} \sqrt{R E_T^*} \quad (14)$$

$E_T^*$  مدول الاستیسیته مؤثر سطح تماس است؛ بنابراین رابطه (15) را از ترکیب روابط (14,13) خواهیم داشت.

$$\beta = \left[ \frac{3F_c}{4\sqrt{R E_T^*}} \right]^{2/3} \quad (15)$$

محققین نشان داده اند که چنانچه مدول ماده همسان گرد در رابطه هرتز با ترکیبی از ویژگی های مکانیکی ماده همسان گرد عرضی (مانند ورق های کامپوزیتی) جایگزین گردد، میزان نفوذ را می توان از رابطه مرتب شده تر نز [26] که توسط سوانسون [27] ارائه شده، مدول الاستیسیته مؤثر سطح تماس ماده همسان گرد کامپوزیتی را به گونه رابطه (16) تعریف می نماید.

$$E_T^* = \frac{2}{\lambda_1 \lambda_3} \quad (16)$$

که در آن رابطه (17) به صورت زیر است.

$$\lambda_1 = \sqrt{\frac{E_x/E_y - v_{xz}^2}{1 - v_{xy}^2}}, \quad \lambda_2 = \frac{(E_x/2G_{xz}) - v_{xz}(1 + v_{xy})}{1 - v_{xy}^2}, \\ \lambda_3 = \frac{1 - v_{xy}}{G_{xy}} \sqrt{\frac{\lambda_1 + \lambda_2}{2}} \quad (17)$$

در رابطه (16) تنها اثر لایه تحت ضربه در نظر گرفته شده است. میزان نرمی یا سفتی لایه های زیرین، سختی ناحیه تماس ورق را به شدت تحت تأثیر قرار می دهد. این قانون را می توان با محاسبه  $E_T^*$  براساس میانگین مدول الاستیسیته (در کل ضخامت) که در معادله (12) ارائه شده است، اصلاح نمود. برای این منظور می توان از مدول میانگین وزنی زیر (با توجه به این که سفتی هر لایه به نسبت  $E/h$  آن لایه وابسته بوده و سفتی لایه ها سری هستند) به صورت رابطه (18) استفاده کرد.

$$(E_T^*)_{eq} = h / \sum_{k=1}^n (h_k/E_k) \quad (18)$$

$$\begin{aligned} L_1(z) &= z/h_2(2z/h_2 - 1), \\ L_2(z) &= 1 - 4z^2/h_2^2, \\ L_3(z) &= z/h_2(1 + 2z/h_2) \end{aligned} \quad (23)$$

همان‌طور که از معادله (21) مشاهده می‌شود، ورق ساندویچی شامل سه لایه بوده و جابه‌جایی محلی هر لایه دارای چهار پارامتر مجھول است. این دوازده پارامترهای مجھول مربوط به جابه‌جایی محلی دوایزه  $X_{11}^{(k)}, X_{12}^{(k)}, X_{21}^{(k)}, X_{22}^{(k)}$ ;  $k = 1, 2, 3$ )، باید براساس ارضاء چهار شرط‌های پیوستگی تنش‌های برشی عرضی در محل اتصال لایه‌ها و چهار شرط‌های شرط مرزی تنش‌های برشی عرضی در سطوح فوقانی و تحتانی ورق ساندویچی تعیین شوند؛ بنابراین شرایط پیوستگی و مرزی رابطه (24) باید برای مسئله حاضر ارضاء شوند.

$$\begin{aligned} z = \pm h/2 : \begin{cases} u_l^{(k)} = u_l^{(k+1)}, & v_l^{(k)} = v_l^{(k+1)}, \\ \tau_{xz}^{(k)} = \tau_{xz}^{(k+1)}, & \tau_{yz}^{(k)} = \tau_{yz}^{(k+1)}, \end{cases} \quad k = 1, 2 \\ \tau_{xz}|z = h/2 + h_3 = 0, \quad \tau_{yz}|z = h/2 + h_3 = 0, \\ \tau_{xz}|z = -h/2 - h_1 = 0, \quad \tau_{yz}|z = -h/2 - h_1 = 0 \end{aligned} \quad (24)$$

هفت پارامترهای مجھول مربوط به جابه‌جایی کلی می‌توان براساس معادلات حاکم تعیین شوند.

## ۵-۲-استخراج روابط حاکم بر مسئله

براساس رابطه (21) ماتریس میدان جابه‌جایی کلی- محلی را می‌توان به صورت رابطه (25) بیان کرد.

$$\lambda^{(k)}(x, y, z, t) = \psi^{(k)}(z)\Gamma^{(k)}(x, y, t) \quad (25)$$

که در آن رابطه (26) به صورت زیر است.

$$\begin{aligned} (\lambda^{(k)})^T &= (u^{(k)} \ v^{(k)} \ w), \\ (\Gamma^{(k)})^T &= (\varphi_{11} \ \varphi_{12} \ \varphi_{21} \ \varphi_{22} \ X_{11}^{(k)} \ X_{12}^{(k)} \ X_{21}^{(k)} \ X_{22}^{(k)} \ w_b \ w_m \ w_t), \\ &\quad \left\{ \delta_{ik} \quad k = 1, 3 \right. \end{aligned}$$

$$L_i^{(k)} = \begin{cases} L_1(z) = z/h_2(2z/h_2 - 1), \\ L_2(z) = 1 - 4z^2/h_2^2, \\ L_3(z) = z/h_2(1 + 2z/h_2), \end{cases} \quad k = 2$$

$$(\psi^{(k)})^T = \begin{bmatrix} 1 & 0 & 0 \\ z & 0 & 0 \\ 0 & 1 & 0 \\ 0 & z & 0 \\ (z - z_k)^2 \sinh\left(\frac{z - z_k}{h_k}\right) & 0 & 0 \\ (z - z_k)^2 \cosh\left(\frac{z - z_k}{h_k}\right) & 0 & 0 \\ 0 & (z - z_k)^2 \sinh\left(\frac{z - z_k}{h_k}\right) & 0 \\ 0 & (z - z_k)^2 \cosh\left(\frac{z - z_k}{h_k}\right) & 0 \\ 0 & 0 & L_1^{(k)} \\ 0 & 0 & L_2^{(k)} \\ 0 & 0 & L_3^{(k)} \end{bmatrix} \quad (26)$$

در نتیجه کرنش در هر لایه طبق رابطه (27) تعیین خواهد شد.

مجھولات به تعداد لایه‌ها) سبب ارائه تئوری‌های کلی- محلی شده است. ایده اساسی در تئوری‌های کلی- محلی بدین گونه است که ابتدا یک میدان جابه‌جایی یکسان برای همه لایه‌های ورق چند لایه و ساندویچی در نظر گرفته شده (مشابه مدل تک لایه معادل)، سپس برای لحاظ کردن رفتار متفاوت هریک از لایه‌ها به علت خواص متفاوت‌شان (اثر زیگزاگ)، توابع جابه‌جایی مستقلی نیز برای هر یک از لایه‌ها در نظر گرفته می‌شود (مشابه تئوری لایه‌ای). در نهایت تعداد مجھولات با اعمال شرط‌های پیوستگی بین لایه‌ای کاهش می‌باید. معادله جابه‌جایی در این تئوری‌ها به صورت کلی رابطه (20) است.

$$u_i = u_i^{\text{ESL}} + u_i^{\text{LWT}} \quad (20)$$

در آن  $u_i^{\text{ESL}}$  مؤلفه جابه‌جایی کلی سازه است که برای تمام لایه‌ها به صورت یکسان درنظر گرفته می‌شود.  $u_i^{\text{LWT}}$  مؤلفه جابه‌جایی مربوط به هر یک از لایه‌های سازه است که باید شرایط پیوستگی را برقرار سازد. در واقع ابتدا یک تابع جابه‌جایی کلی ( $u_i^{\text{ESL}}$ ) در نظر گرفته می‌شود و سپس توسط جابه‌جایی مستقل مربوط به هر یک از لایه‌ها ( $u_i^{\text{LWT}}$ )، پاسخ برای لایه‌ای مختلف اصلاح شده و پاسخ مناسب‌تر به دست خواهد آمد.

در مدل‌سازی ورق ساندویچی، با توجه به نازک بودن رویه‌ها و پایین بودن نسبت ضخامت رویه‌ها به هسته، جهت کاهش حجم محاسبات معمولاً ورق ساندویچی به صورت سه لایه در نظر گرفته می‌شود. در این مقاله از مزایای تئوری‌های کلی- محلی استفاده می‌شود، به گونه‌ایی که دقت نتایج تحلیل مناسب باشد و حجم محاسبات نیز افزایش نیاید. برای این منظور میدان جابه‌جایی ورق ساندویچی به صورت رابطه (21) ارائه می‌شود.

$$\begin{cases} u^{(k)}(x, y, z, t) = u_G + u_L^{(k)} = \varphi_{11}(x, y, t) + \varphi_{12}(x, y, t)z \\ \quad + X_{11}^{(k)}(x, y, t)(z - z_k)^2 \sinh\left(\frac{z - z_k}{h_k}\right) \\ \quad + X_{12}^{(k)}(x, y, t)(z - z_k)^2 \cosh\left(\frac{z - z_k}{h_k}\right), \\ v^{(k)}(x, y, z, t) = v_G + v_L^{(k)} = \varphi_{21}(x, y, t) + \varphi_{22}(x, y, t)z \\ \quad + X_{21}^{(k)}(x, y, t)(z - z_k)^2 \sinh\left(\frac{z - z_k}{h_k}\right) \\ \quad + X_{22}^{(k)}(x, y, t)(z - z_k)^2 \cosh\left(\frac{z - z_k}{h_k}\right), \end{cases} \quad k = 1, 2, 3 \quad (21)$$

که  $u_G$  و  $v_G$  مؤلفه‌های کلی و  $u_L^{(k)}$  و  $v_L^{(k)}$  مؤلفه‌های محلی و اندیس  $k$  بیانگر شماره لایه ورق ساندویچی سه لایه است. با توجه به وجود چهار شرط پیوستگی در محل اتصال لایه‌ها، چهار جز برای هر مؤلفه محلی لایه باید استفاده گردد تا تعداد مجھولات نسبت به تعداد لایه‌ها مستقل باشد. با توجه به ضخامت زیاد هسته و نرم بودن آن، در نظر نگرفتن انعطاف‌پذیری عرضی هسته موجب نتایج غیرواقعی و غیردقیق خواهد شد. به منظور دستیابی به نتایج دقیق با کمترین خطای ممکن، جابه‌جایی عرضی هسته به شکل رابطه (22) در نظر گرفته می‌شود.

$$w = \begin{cases} w_t; & h_2/2 \leq z \leq h_2/2 + h_3 \\ L_1(z)w_b + L_2(z)w_m + L_3(z)w_t & -h_2/2 \leq z \leq h_2/2 \\ w_b; & -h_2/2 - h_1 \leq z \leq -h_2/2 \end{cases} \quad (22)$$

در آن  $w_t$  و  $w_b$  به ترتیب جابه‌جایی‌های عرضی لایه‌ای پایینی، میانی و بالایی هسته هستند. رویه‌ها نسبت به هسته صلب در نظر گرفته شده‌اند.  $L_1$ ,  $L_2$  و  $L_3$  توابع درونیابی لاکرانژ مرتبه دوم به صورت رابطه (23) هستند.

$$= \int_A \sum_{k=1}^3 \int_{h_k}^{h_{k+1}} (\delta\phi)^T (D\hat{\Psi}^{(k)} \mathcal{N}^*)^T \left( \hat{\mathcal{C}}^{(k)} D\hat{\Psi}^{(k)} \mathcal{N}^* \phi - \sigma_s^{(k)} \right) dz dA \quad (34)$$

$$\begin{aligned} \delta W &= - \int_A \sum_{k=1}^3 \int_{h_k}^{h_{k+1}} \rho^{(k)} (\delta\lambda^{(k)})^T \ddot{\lambda}^{(k)} dz dA \\ &\quad + \int_{\mathfrak{J}_\sigma} \sum_{k=1}^3 \int_{h_k}^{h_{k+1}} (\delta\lambda^{(k)})^T n^T \mathcal{T} dz ds + F_c \delta w_0^i \\ &= - \int_A \sum_{k=1}^3 \int_{h_k}^{h_{k+1}} \rho^{(k)} (\delta\phi)^T (\hat{\Psi}^{(k)} \mathcal{N}^*)^T (\hat{\Psi}^{(k)} \mathcal{N}^*) \ddot{\phi} dz dA \\ &\quad + \int_{\mathfrak{J}_\sigma} \sum_{k=1}^3 \int_{h_k}^{h_{k+1}} (\delta\phi)^T (\hat{\Psi}^{(k)} \mathcal{N}^*)^T n^T \mathcal{T} dz ds \\ &\quad + F_c (\delta\phi)^T ((0 \ 0 \ 1) \hat{\Psi}^{(k)} \mathcal{N}^*)^T \end{aligned} \quad (35)$$

در آن  $A$  و  $\mathfrak{J}_\sigma$  به ترتیب ناحیه صفحه مرجع و لبه ورق را نشان می دهند و  $n$  و  $\mathcal{T}$  به ترتیب معرف بردار نرمال یکه بیرونی و بردار ترکشن هستند.  $F_c$  و  $w_0^i$  نیز به ترتیب نیروی تماش و جابه جایی ضریب زننده هستند. از آن جایی که رابطه (33) باید برای هر بازه زمانی دلخواه و  $(\delta\phi)$  معتبر باشد، براساس معادلات (35-33) می توان رابطه (36) را نتیجه گرفت.

$$\begin{aligned} &\int_A \sum_{k=1}^3 \int_{h_k}^{h_{k+1}} \left[ \rho^{(k)} (\hat{\Psi}^{(k)} \mathcal{N}^*)^T (\hat{\Psi}^{(k)} \mathcal{N}^*) \ddot{\phi} + (D\hat{\Psi}^{(k)} \mathcal{N}^*)^T \hat{\mathcal{C}}^{(k)} D\hat{\Psi}^{(k)} \mathcal{N}^* \phi \right] dz dA \\ &= \int_A \sum_{k=1}^3 \int_{h_k}^{h_{k+1}} (D\hat{\Psi}^{(k)} \mathcal{N}^*)^T \sigma_s^{(k)} dz dA \\ &\quad + \int_{\mathfrak{J}_\sigma} \sum_{k=1}^3 \int_{h_k}^{h_{k+1}} (\hat{\Psi}^{(k)} \mathcal{N}^*)^T n^T \mathcal{T} dz ds \\ &\quad + F_c ((0 \ 0 \ 1) \hat{\Psi}^{(k)} \mathcal{N}^*)^T \end{aligned} \quad (36)$$

یا در شکل فشرده به صورت رابطه (37) است.

$$\mathcal{M}\ddot{\phi} + \mathcal{K}\phi = \mathcal{F} \quad (37)$$

که در آن رابطه (38) به صورت زیر است.

$$\begin{aligned} \mathcal{M} &= \int_A \sum_{k=1}^3 \int_{h_k}^{h_{k+1}} \rho^{(k)} (\hat{\Psi}^{(k)} \mathcal{N}^*)^T (\hat{\Psi}^{(k)} \mathcal{N}^*) dz dA \\ \mathcal{K} &= \int_A \sum_{k=1}^3 \int_{h_k}^{h_{k+1}} (D\hat{\Psi}^{(k)} \mathcal{N}^*)^T \hat{\mathcal{C}}^{(k)} D\hat{\Psi}^{(k)} \mathcal{N}^* dz dA, \\ \mathcal{F} &= \int_A \sum_{k=1}^3 \int_{h_k}^{h_{k+1}} (D\hat{\Psi}^{(k)} \mathcal{N}^*)^T \sigma_s^{(k)} dz dA \\ &\quad + \int_{\mathfrak{J}_\sigma} \sum_{k=1}^3 \int_{h_k}^{h_{k+1}} (\hat{\Psi}^{(k)} \mathcal{N}^*)^T n^T \mathcal{T} dz ds \\ &\quad + F_c ((0 \ 0 \ 1) \hat{\Psi}^{(k)} \mathcal{N}^*)^T \end{aligned} \quad (38)$$

رابطه (37) باید با معادلات حاکم بر حرکت ضربه زننده به صورت رابطه

(39) ادغام شوند.

$$m_i \ddot{w}_0^i = -F_c \rightarrow m_i \ddot{w}_0^i + k_c (w_0^i - w_c)^{3/2} = 0 \quad (39)$$

در آن  $m_i$  و  $w_c$  به ترتیب جرم ضربه زننده و تغییر شکل جانبی (خیز) نقطه تحت ضربه (نقطه مرکزی) ورق ساندویچی هستند. همان طور که بیان گشت، سیستم معادلات المان محدود ورق ساندویچی کامپوزیتی تقویت شده با سیم های آلیاژ حافظه دار هم شامل روابط (37) و هم شامل معادلات (39) است. پاسخ های ورق تحت ضربه با استفاده از روش انگرال گیری زمانی

$$\varepsilon^{(k)} = \begin{pmatrix} \varepsilon_x \\ \varepsilon_y \\ \varepsilon_z \\ \gamma_{yz} \\ \gamma_{zx} \\ \gamma_{xy} \end{pmatrix}^{(k)} = \begin{pmatrix} u_x \\ v_y \\ w_z \\ w_y + v_z \\ w_x + u_z \\ u_y + v_x \end{pmatrix}^{(k)} = D\Psi^{(k)} \Gamma^{(k)},$$

$$(D)^T = \begin{bmatrix} \frac{\partial}{\partial x} & 0 & 0 & 0 & \frac{\partial}{\partial z} & \frac{\partial}{\partial y} \\ 0 & \frac{\partial}{\partial y} & 0 & \frac{\partial}{\partial z} & 0 & \frac{\partial}{\partial x} \\ 0 & 0 & \frac{\partial}{\partial z} & \frac{\partial}{\partial y} & \frac{\partial}{\partial x} & 0 \end{bmatrix} \quad (27)$$

بنابراین رابطه (28) را براساس رابطه (11) خواهیم داشت.

$$\sigma^{(k)} = \hat{\mathcal{C}}^{(k)} \varepsilon^{(k)} - \sigma_s^{(k)} = \hat{\mathcal{C}}^{(k)} D\Psi^{(k)} \Gamma^{(k)} - \sigma_s^{(k)} \quad (28)$$

همان طور که مشاهده می شود از آن جایی که مؤلفه های تنش وابسته به مشتقات نسبی پارامتر های جابه جایی  $\Gamma^{(k)}$  هستند، اعمال شرط های پیوستگی و شرایط مزی (24) به صورت مستقیم امکان پذیر نیست. برای امکان پذیر شدن این امر، ورق مستطیلی ساندویچی مطابق شکل 1 توسط المان های مستطیلی مرتبه دو [29] گسیسته سازی می شود. با توجه به این که تغییرات مؤلفه های جابه جایی در جهت ضخامت پنداشته می شود، تنها به شبکه بندی درون صفحه ای بسته می شود؛ بنابراین پارامتر های جابه جایی را می توان به فرم المان محدود به صورت رابطه (29) نشان داد.

$$\Gamma^{(k)} = \mathcal{N}(x, y) \theta^{(k)}(t) \quad (29)$$

در آن  $\mathcal{N}$  ماتریس توابع شکلی و  $\theta$  بردار مقادیر گرهی است؛ بنابراین رابطه (30) به صورت زیر است.

$$D\Psi^{(k)} \Gamma^{(k)} = D\Psi^{(k)} \mathcal{N}(x, y) \theta^{(k)}(t) = \mathfrak{A}(x, y, z) \theta^{(k)}(t) \quad (30)$$

با اعمال شرط های پیوستگی و شرایط مزی (24)، پارامتر های محلی بر حسب پارامتر های کلی تعیین می شوند به طوری که در نهایت پارامتر های جابه جایی کلی تنها پارامتر های جابه جایی مجھول مستقل به صورت رابطه (31) خواهد بود.

$$\begin{aligned} \lambda^{(k)}(x, y, z, t) &= \hat{\Psi}^{(k)}(z) \varphi(x, y, t) \\ &= \hat{\Psi}^{(k)}(z) \mathcal{N}^*(x, y) \phi(t) \end{aligned} \quad (31)$$

در آن  $\mathcal{N}^*$  ماتریس کلی توابع شکلی است و به صورت رابطه (32) است.

$$\mathcal{N}^* = \begin{bmatrix} \mathcal{N} & 0 & 0 & 0 & 0 & 0 & 0 \\ 0 & \mathcal{N} & 0 & 0 & 0 & 0 & 0 \\ 0 & 0 & \mathcal{N} & 0 & 0 & 0 & 0 \\ 0 & 0 & 0 & \mathcal{N} & 0 & 0 & 0 \\ 0 & 0 & 0 & 0 & \mathcal{N} & 0 & 0 \\ 0 & 0 & 0 & 0 & 0 & \mathcal{N} & 0 \\ 0 & 0 & 0 & 0 & 0 & 0 & \mathcal{N} \end{bmatrix}$$

$$\varphi^T = (\varphi_{11} \ \varphi_{12} \ \varphi_{21} \ \varphi_{22} \ w_b \ w_m \ w_t) \quad (32)$$

بردار مقادیر گرهی مؤلفه های بردار  $\varphi$  است. معادلات حاکم بر مسئله

با استفاده از اصل همیلتون (شکل دینامیکی قانون جابه جایی مجازی) به صورت رابطه (33) استخراج می شود:

$$\int_0^T (\delta U - \delta W) dt = 0 \quad (33)$$

در آن انرژی کرنشی ( $\delta U$ ) و کار نیروهای خارجی ( $\delta W$ ) از روابط (35,34) مشخص می شوند.

$$\delta U = \int_A \sum_{k=1}^3 \int_{h_k}^{h_{k+1}} (\delta \varepsilon^{(k)})^T \sigma^{(k)} dz dA$$

مراجع دیگر [30] صحت نتایج حاصل را تأیید می‌کند (شکل ۳).

#### ۴- نتایج و بحث

ورق ساندویچی مورد مطالعه در این مقاله ورقی مستطیلی با نسبت ابعاد  $h_1/h = h_3/h = 0.1$ ,  $h_2/h = b/h_2 = 0.8$ ,  $a/h_2 = b/h_2 = 6$  است، جنس رویه‌های این ورق ساندویچی شیشه/ابوکسی است که خواص آن در جدول ۲ بیان شده است. هسته از یک فوم نرم با مشخصات بیان شده در جدول ۳ تشکیل شده است. شرایط تکیه‌گاهی ورق ساندویچی از نوع ساده انتخاب شده است. ضربه‌زننده جسمی صلب و کروی با جرم ۲ کیلوگرم است که با سرعت ۴ متر بر ثانیه به ورق ساندویچی برخورد می‌کند. برای رسیدن به یک مدل مطلوب و همگرا شدن پاسخ‌ها اندازه المان‌ها در چندین مرحله حل ریزتر می‌شوند تا پاسخ‌های به دست آمده همگرا شوند (شکل ۴). همان‌طور که مشاهده می‌شود همگرایی برای تعداد المان برابر یا بیشتر از ۸۸ المان رخ

جدول ۱ خواص و مشخصات ورق ساندویچی و ضربه‌زننده [30]

مشخصات ضربه‌زننده	اعداد ورق	خواص هسته	خواص رویه‌های کامپوزیتی	مقادیر یا مشخصه مربوط
				$E_1 = 77 \text{ GPa}$ , $E_2 = 75 \text{ GPa}$ , $v_{12} = 0.07$ ,
				$G_{12} = 6.5 \text{ GPa}$ , $G_{31} = 5.1 \text{ GPa}$ ,
				$G_{32} = 4.1 \text{ GPa}$ , $\rho = 1600 \text{ kg/m}^3$
				$E_1 = 0.24 \text{ GPa}$ , $E_3 = 0.403 \text{ GPa}$ ,
				$G_{13} = 0.115 \text{ GPa}$ , $\rho = 250 \text{ kg/m}^3$
				$h_1/h = h_3/h = 0.05$ , $h_2/h = 0.9$ ,
				$a/h_2 = b/h_2 = 11$
ساده	شرایط تکیه‌گاهی			
				$V_0 = 1.6 \text{ m/s}$ , $R/h_2 = 5$ , $M_I = 6.22 \text{ kg}$

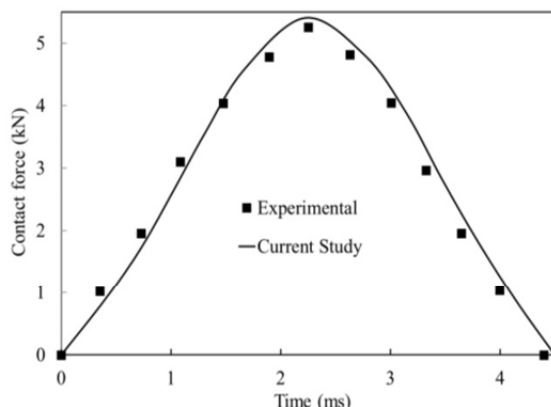


Fig. 3 Comparison between the results of the current analysis and the experimental results of reference [30] for time variations of the contact force

شکل ۳ مقایسه نتایج تحلیل حاضر با نتایج تجربی مرجع [30] برای تغییرات زمانی نیروی تماشی

جدول ۲ خواص مکانیکی رویه‌های کامپوزیتی شیشه/ابوکسی [31]

Table 2 Mechanical properties of glass/epoxy composite face sheets [31]

پارامتر	مقدار
$E_1 = E_2 (\text{GPa})$	32.062
$E_3 (\text{GPa})$	10.789
$G_{12} (\text{GPa})$	11.92
$G_{13} = G_{23} (\text{GPa})$	4.68
$v_{12} = v_{13} = v_{23}$	0.344
$\rho (\text{kg/m}^3)$	1796

عددی نیومارک مشخص می‌شوند. سیستم معادلات حاصله غیرخطی است باید در هر گام زمانی با استفاده از شرایط اولیه رابطه (40) یک حل تکرارشونده به کار گرفته شود.

$$[\phi, \dot{\phi}]_t = 0 = 0 \quad (40)$$

به دلیل معادله ساختاری غیرخطی سیم‌های آلیاژ حافظه‌دار، ماتریس سفتی ورق ساندویچی کامپوزیتی هیبریدی تقویت شده با آلیاژ حافظه‌دار غیرخطی و وابسته به پارامترهای جابه‌جایی گرهی است؛ بنابراین ماتریس سفتی باید در هر گام زمانی چندین بار به روز شود. برای این منظور ماتریس سفتی در هر گام در ابتدا باید براساس پارامترهای جابه‌جایی انتگرال مارتنزیت و تنش‌های گام زمانی پیشین ساخته شود. پس از حل دستگاه معادلات، ماتریس سفتی باید براساس میدان جابه‌جایی محلی یا بارگذاری معکوس در هر یک از نقاط سیم‌های آلیاژ حافظه‌دار اتفاق می‌افتد، مهم است. چرا که قوانین ساختاری برای هر کدام از این حالات متفاوت هستند. از آن جایی که مدل برینسون اساساً برای حالت بارگذاری ارائه شده است، در اینجا این مدل از طریق ارائه الگوریتم نشان داده شده در روندnamای شکل ۲ اصلاح شده است. در این شکل  $n$  شمارنده گام‌های انتگرال گیری زمانی است. در بارگذاری معکوس باید علامت عبارات دوم و سوم سمت راست رابطه (۱) تغییر یابند؛ بنابراین باید در هر نقطه از سیم‌های آلیاژ حافظه‌دار تغییرات لحظه‌ای و محلی کسر حجمی مارتنزیت بررسی شوند.

#### ۳- صحه‌گذاری نتایج کنونی

نتایج کنونی بر پایه حل معادلات اجزا محدود غیرخطی ارائه شده به کمک برنامه نوشته شده توسعه محققین در نرم‌افزار متلب استخراج شده‌اند. جهت صحه‌گذاری نتایج برنامه نوشته شده، نتایج تجربی ضربه کم سرعت یک ورق مستطیلی ساندویچی کامپوزیتی [30] با نتایج تحلیل حاضر مقایسه می‌گردد. خواص و مشخصات ورق ساندویچی و ضربه‌زننده در جدول ۱ بیان گشته است. مقایسه نتایج تحلیل حاضر برای تاریخچه نیروی تماشی با نتایج تجربی

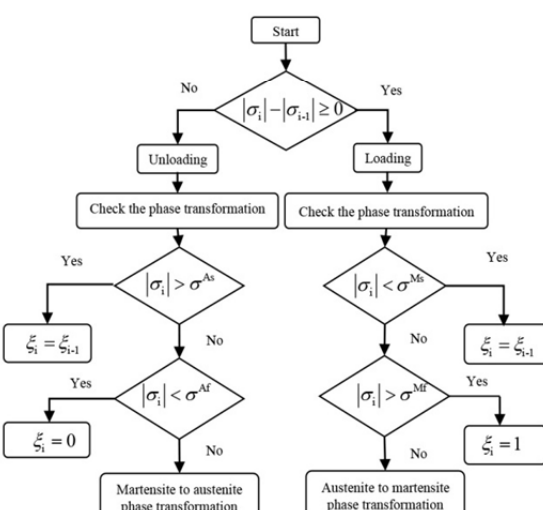


Fig. 2 The algorithm for tracing the phase transformation events during loading and unloading at each individual point of the SMA wires to adequately modify Brinson's model

شکل ۲ الگوریتم ردیابی رویدادهای انتقال فاز در هنگام بارگذاری و باربرداری در هر نقطه از سیم‌های آلیاژ حافظه‌دار به منظور اصلاح مدل برینسون

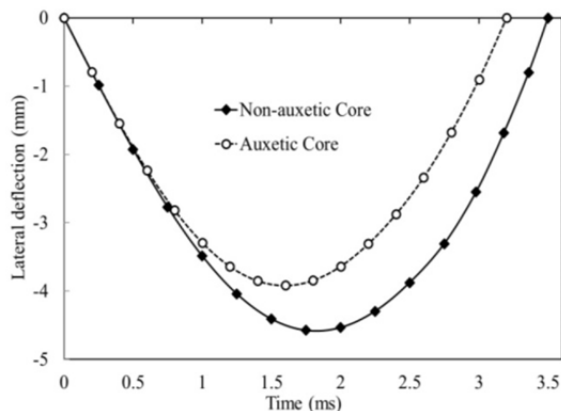


Fig. 6 Effects of the auxetic core on time history of the lateral deflection of the central point of the composite sandwich plate

شکل 6 تاثیر هسته آگزتیکی بر تاریخچه خیز نقطه مرکزی ورق ساندویچی کامپوزیتی

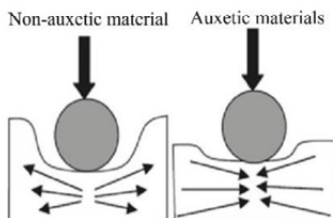


Fig. 7 Behavior of auxetic and non-auxetic materials under the impact

شکل 7 رفتار مواد معمولی و آگزتیکی تحت ضربه

#### 4-2- اثر ضربی پواسون هسته

جهت بررسی اثر مقادیر مختلف ضربی پواسون هسته بر پاسخ ضربه ورق ساندویچی کامپوزیتی، ضربی پواسون هسته بین مقادیر -0.4- تا 0.4 تغییر داده شد. نتایج تحلیل در شکل های 8 و 9 نشان داده شده اند. همان طور که مشاهده می شود در مواد معمولی با افزایش ضربی پواسون هسته شاهد کاهش نیروی برخورد و افزایش خیز و مدت زمان برخورد هستیم، اما در مواد آگزتیکی عکس این حالت اتفاق می افتد به گونه ای که با افزایش قدر مطلق ضربی پواسون هسته، شاهد افزایش نیروی برخورد و کاهش خیز و مدت زمان برخورد هستیم.

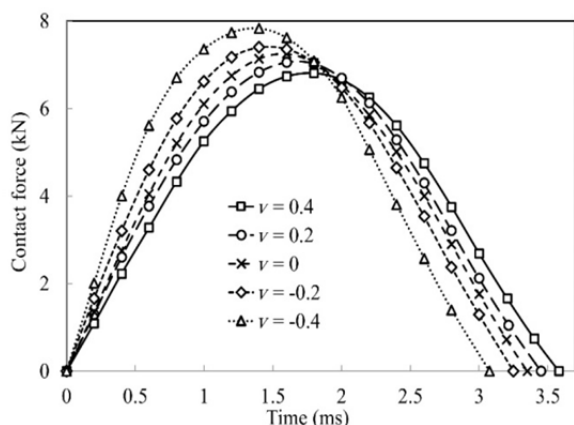


Fig. 8 تاثیر ضربی پواسون هسته بر تاریخچه نیروی تماسی ورق ساندویچی کامپوزیتی

شکل 8 تاثیر ضربی پواسون هسته بر تاریخچه نیروی تماسی ورق ساندویچی کامپوزیتی

جدول 3 خواص مکانیکی هسته [31]

Table 3 Mechanical properties of the core [31]

مقدار	پارامتر
0.18	$E$ (GPa)
0.3	$\nu$
110	$\rho$ (kg/m <sup>3</sup> )

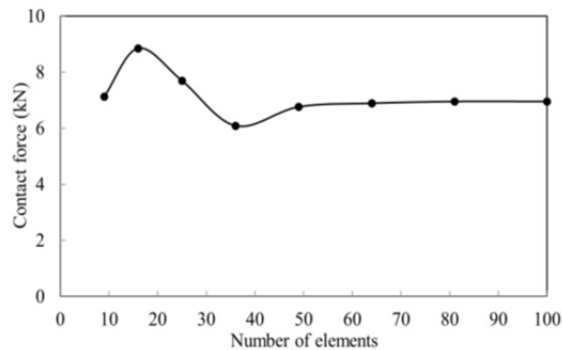


Fig. 4 Convergence study based on variations of the maximum contact force with number of the elements

شکل 4 بررسی همگرایی براساس تغییرات ماتریس نیروی تماسی به ازای تعداد المان ها

داده است. با این حال برای اطمینان از این که نتایج در همه تحلیلهای بعدی همگرا هستند، تعداد 1010 المان در پژوهش کنونی انتخاب شده است.

#### 4-1- اثر هسته آگزتیکی

پس از همگرایی پاسخ ضربه کم سرعت ورق ساندویچی کامپوزیتی به بررسی اثر هسته آگزتیکی بر پاسخ ضربه این سازه می پردازیم. برای این منظور ضربی پواسون هسته از 0.3 به -0.3 تغییر داده شد. نتایج تحلیل در شکل های 5 و 6 نشان داده شده اند.

مواد آگزتیکی در مقایسه با مواد معمولی رفتاری متفاوت در برابر ضربه از خود نشان می دهند (شکل 7). مواد معمولی وقتی تحت ضربه عرضی قرار می گیرند در دو بعد عمود بر ضربه از محل ضربه دور می شوند، در حالی که مواد آگزتیکی به دلیل پواسون منفی شان وقتی تحت ضربه عرضی قرار می گیرند، نه تنها در دو بعد عمود بر ضربه از محل ضربه دور نمی شوند، بلکه به سمت محل ضربه نیز فشرده می شوند. این رفتار مواد آگزتیکی باعث افزایش سفتی ظاهری تماس می گردد که نتیجه آن افزایش نیروی تماس و کاهش خیز و مدت زمان برخورد خواهد بود (شکل های 5 و 6).

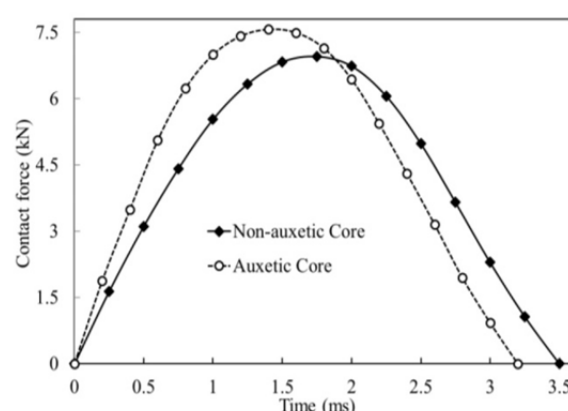
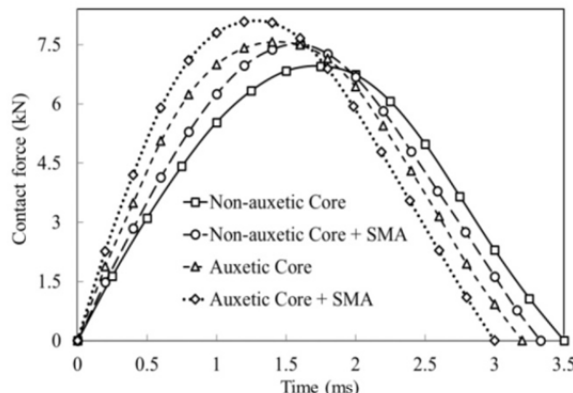


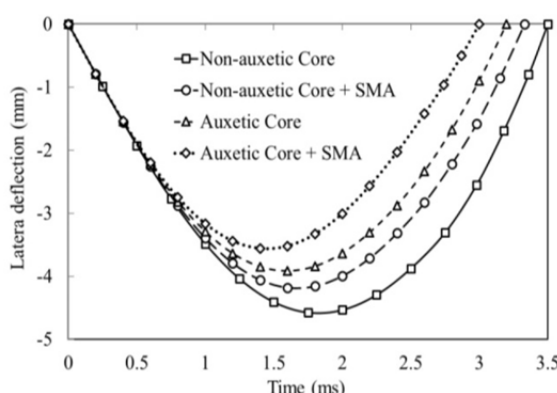
Fig. 5 Effects of the auxetic core on time history of the contact force of the composite sandwich plate

شکل 5 تاثیر هسته آگزتیکی بر تاریخچه نیروی تماسی ورق ساندویچی کامپوزیتی

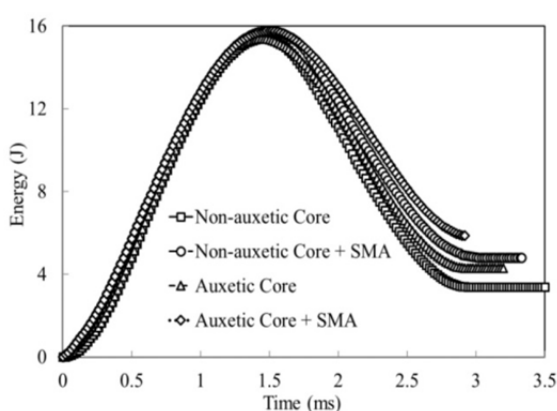
باعث افزایش انرژی جذب شده توسط سازه می‌شود (شکل 12) که نتیجه آن افزایش مقاومت به ضربه ورق ساندویچی کامپوزیتی و کاهش آسیب به وجود آمده در اثر ضربه است. نتایج شکل‌های 10-12 بیانگر تأثیر بارز آگزتیک بودن مواد تشکیل‌دهنده هسته در افزایش نیروی تماس و جذب انرژی ورق و



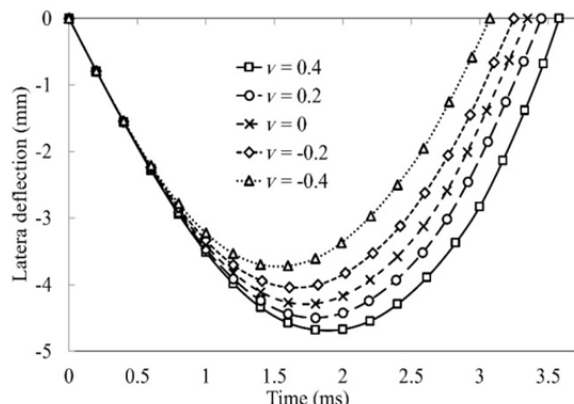
شکل 10 تأثیر سیم‌های آلیاژ حافظه‌دار بر تاریخچه خیز نقطه مرکزی ورق ساندویچی کامپوزیتی با هسته آگزتیکی و غیر آگزتیکی



شکل 11 تأثیر سیم‌های آلیاژ حافظه‌دار بر تاریخچه خیز نقطه مرکزی ورق ساندویچی کامپوزیتی با هسته آگزتیکی و غیر آگزتیکی



شکل 12 تأثیر سیم‌های آلیاژ حافظه‌دار بر تاریخچه انرژی جذب شده ورق ساندویچی کامپوزیتی با هسته آگزتیکی و غیر آگزتیکی



شکل 9 تأثیر ضریب پواسون هسته بر تاریخچه خیز نقطه مرکزی ورق ساندویچی کامپوزیتی

#### 4-3- اثر سیم‌های آلیاژ حافظه‌دار

در این بخش از مقاله به بررسی اثر آلیاژ حافظه‌دار بر پاسخ ضربه ورق ساندویچی کامپوزیتی با هسته آگزتیکی ( $v = -0.3$ ) و هسته غیر آگزتیکی ( $v = 0.3$ ) می‌پردازیم. برای این منظور فرض می‌شود سیم‌هایی از این آلیاژ در رویه‌های کامپوزیتی ورق ساندویچی هم راستا با الیاف تعییه شده است. کسر حجمی سیم‌های آلیاژ حافظه‌دار در هر رویه 50% و نسبت به کل ورق ساندویچی 10% است. خواص آلیاژ حافظه‌دار به کار رفته در این مقاله به شرح جدول 4 است.

نتایج تحلیل در شکل‌های 10-12 ارائه شده‌اند. همان‌طور که مشاهده می‌شود با تعییه سیم‌هایی از جنس آلیاژ حافظه‌دار در رویه‌های کامپوزیتی ورق ساندویچی با توجه به این که این آلیاژ نسبت به رویه‌های کامپوزیتی دارای سفتی بیشتری است، این عامل باعث افزایش سفتی ظاهری ناحیه تماس شده که نتیجه آن افزایش نیروی برخورد و کاهش خیز محل برخورد و مدت زمان تماس است (شکل‌های 10 و 11). از طرفی آلیاژ‌های حافظه‌دار به دلیل دارا بودن خاصیت سوپر الاستیسیته و تشکیل حلقه هیسترزیس، توانایی جذب انرژی زیادی دارند. در نتیجه این آلیاژ با جذب انرژی در حین ضربه

جدول 4 خواص سیم‌های آلیاژ حافظه‌دار (نیتینول) [32]

Table 4 The properties of SMA wires (Nitinol) [32]

پارامتر	مقدار
$E_A$ (GPa)	51.7
$E_M$ (GPa)	47.8
$G$ (GPa)	29.4
$v_A = v_M$	0.3
$\rho$ (kg/m <sup>3</sup> )	6450
$A_s$ (°C)	34.5
$A_f$ (°C)	49
$M_s$ (°C)	18.4
$M_f$ (°C)	9
$C_A = C_M$	6.572
$T_0$ (°C)	37
$\varepsilon_L$	0.0063
$\sigma_{Ms}$ (MPa)	600
$\sigma_{Mf}$ (MPa)	670
$\sigma_{As}$ (MPa)	288
$\sigma_{Af}$ (MPa)	254

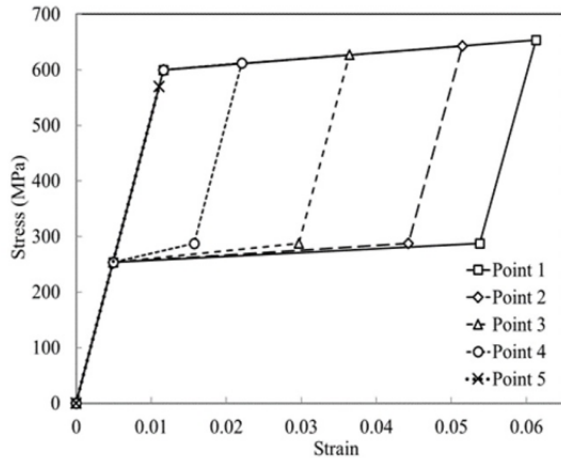


Fig. 15 Variations of the stress versus the strain for representative points of the central Nitinol wire of the top face sheet

شکل 15 تغییرات تنش-کرنش نقاط سیم نایتینول مرکزی در رویه بالایی

داشتن سرعت ضربه‌زننده به میزان 4 متر بر ثانیه، جرم ضربه‌زننده را از 2 کیلوگرم به مقادیر 2, 3, 4 و 5 برابر افزایش می‌دهیم تا علاوه‌بر بررسی اثر انرژی ضربه‌زننده بر پاسخ ضربه سازه به مقابله تفاوت این دو روش مختلف در افزایش انرژی ضربه‌زننده نیز پرداخته شود. نتایج تحلیل در شکل‌های 16-19 نشان داده شده‌اند. همان‌طور که از شکل‌های 16 و 17 مشاهده می‌شود نیروی برخورد و خیز محل برخورد با افزایش انرژی ضربه‌زننده افزایش می‌یابد. مدت زمان برخورد در هنگام افزایش انرژی برخورد توسط افزایش جرم ضربه‌زننده افزایش می‌یابد، اما در حالت افزایش انرژی برخورد توسط افزایش سرعت ضربه‌زننده کاهش می‌یابد (شکل 18). افزایش انرژی ضربه‌زننده باعث افزایش میدان تنش می‌گردد، در نتیجه آستنیت بیشتری به مارتنزیت تغییر فاز خواهد داد و شاهد افزایش کسر حجمی مارتنزیت خواهیم بود. برای نمونه همان‌طور که از شکل 19 مشاهده می‌شود کسر حجمی مارتنزیت نقطه 5 از سیم آلیاز حافظه‌دار در رویه بالایی ورق ساندویچی با افزایش انرژی ضربه‌زننده از مقدار 16 ژول به مقدار 80 ژول از مقدار اولیه صفر تا مقدار 37% افزایش می‌یابد.

## 5- نتیجه‌گیری

در این مقاله به تحلیل ضربه کم سرعت ورق مستطیلی ساندویچی کامپوزیتی

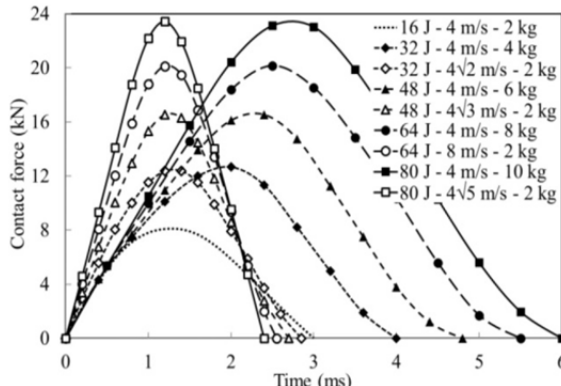


Fig. 16 Effect of various mass and velocity of indenter in different energy level on contact force of the SMA-composite sandwich plate with auxetic core

شکل 16 تأثیر مقادیر مختلف جرم و سرعت ضربه‌زننده در سطوح مختلف انرژی بر نیروی تماسی ورق ساندویچی کامپوزیتی تقویت شده با آلیاز حافظه‌دار و هسته آگزتیکی

کاهش زمان تماس و خیز ورق هستند.

همان‌طور که پیشتر بیان شد در بیشتر پژوهش‌های پیشین مدل‌سازی رفتار آلیاز حافظه‌دار به صورت مناسبی صورت نگرفته است و تنها از مفهوم ابتدایی تنش بازیابی [35-33] یا همارزی با مدل‌های ویسکوالاستیک [36] استفاده شده است. در مقاله کنونی اثر تغییرات لحظه‌ای و غیرلکنواخت بودن مکانی میزان تبدیل فاز آستنیتی به مارتزیتی و برعکس به طور دقیق در نظر گرفته شده است. به منظور اثبات این ادعا در حالت هسته آگزتیکی برای نقاط سیم مرکزی آلیاز حافظه‌دار در رویه بالایی و در محل برخورد (نقاط مشخص شده در شکل 13 که در فاصله 5 میلی‌متری از یکدیگر قرار دارند)، تغییرات کسر حجمی مارتزیت و نمودار تنش-کرنش به ترتیب در شکل‌های 14 و 15 نشان داده شده است. همان‌طور که ملاحظه می‌شود در نقطه محل برخورد که دارای بیشترین خیز و بزرگ‌ترین مقادیر تنش است، بیشترین حجم آستنیت اولیه به مارتزیت تبدیل می‌گردد و به تبع آن بزرگ‌ترین حلقه هیسترزیس اتفاق می‌افتد، اما با فاصله گرفتن از محل برخورد به دلیل کاهش میدان تنش، کسر حجمی مارتزیت کاهش می‌یابد به گونه‌ای که در نقطه 5 تنش به تنش بحرانی تبدیل آستنیت به مارتزیت نمی‌رسد و به همین دلیل هیچ کسری از آستنیت اولیه به مارتزیت تبدیل نمی‌گردد و آلیاز حافظه‌دار تنها یک رفتار الاستیک خطی در فاز آستنیت را طی می‌کند.

## 4-4- اثر انرژی ضربه‌زننده

جهت بررسی اثر انرژی ضربه‌زننده بر پاسخ ضربه کم سرعت ورق مستطیلی ساندویچی با هسته آگزتیکی ( $V = -0.3$ ) و رویه‌های کامپوزیتی تقویت شده با آلیاز حافظه‌دار، میزان انرژی ضربه‌زننده را از 16 ژول به مقادیر 3, 4 و 5 برابر افزایش می‌دهیم. برای این منظور یک بار با ثابت نگه داشتن جرم ضربه‌زننده به میزان 2 کیلوگرم میزان سرعت ضربه‌زننده را از 4 متر بر ثانیه به مقادیر  $\sqrt{2}$ ,  $\sqrt{3}$ , 2 و  $\sqrt{5}$  برابر افزایش می‌دهیم و بار دیگر با ثابت نگه

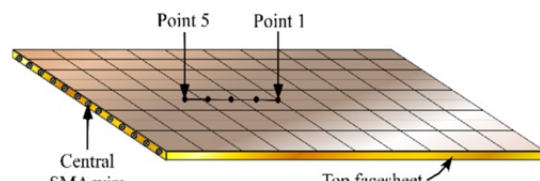


Fig. 13 The points of the central Nitinol wire of the top face sheet at the impact location

شکل 13 نقاط سیم نایتینول مرکزی در رویه بالایی و در ناحیه ضربه

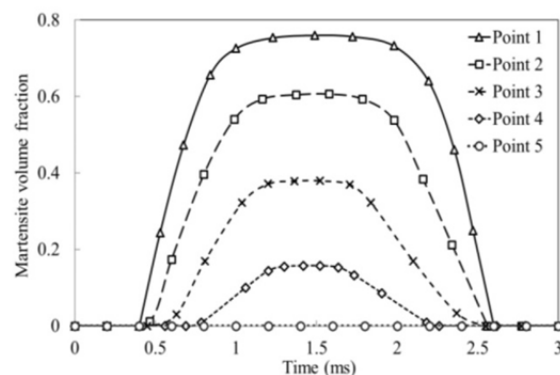


Fig. 14 Time variations of the martensite volume fraction of the central Nitinol wire at the points shown in Fig. 13

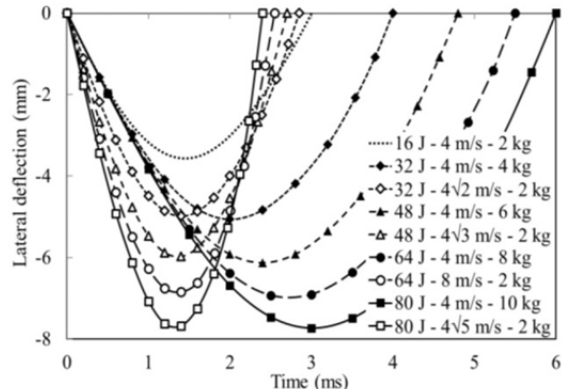
شکل 14 تغییرات زمانی کسر حجمی مارتزیت سیم نایتینول مرکزی در نقاط نشان داده شده در شکل 13

ارائه و به کارگیری یک نئوری کلی- محلی هایپربولیک مرتبه بالا جدید پرداخته شد. در این مقاله توزیع غیریکنواخت ووابسته به زمان برای فازهای سیم‌های آلیاژ حافظه‌دار به طور دقیق در نظر گرفته شد و همچنین جابه‌جایی عرضی برای هسته انعطاف‌پذیر لحظه‌گردید. علاوه‌بر این به جای استفاده از قانون متداول هرتر از قانون تماس اصلاح شده استفاده و قوانین تماس مختلفی برای فازهای بارگذاری و باربرداری در نظر گرفته شد، همچنین آثار سفتی همه لایه‌ها به همراه ضخامت ورق بر سفتی تماس در نظر گرفته شد.

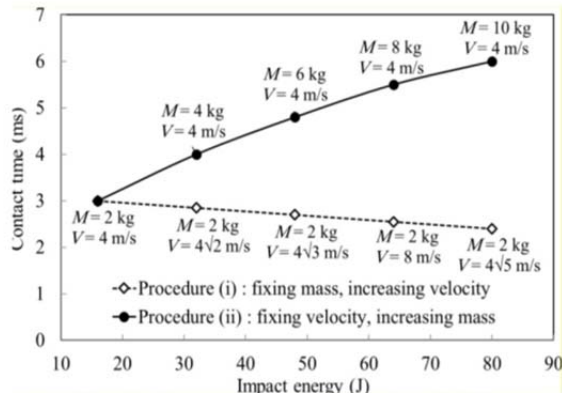
در این پژوهش مشخص شد که هسته آگزیتیکی سبب افزایش سفتی ظاهری ناحیه تماس ورق ساندویچی می‌شود که نتیجه آن افزایش نیروی برخورد و کاهش خیز و مدت زمان برخورد است. علاوه‌بر این در هسته آگزیتیکی با افزایش قدر مطلق ضریب پواسون هسته شاهد افزایش نیروی برخورد و کاهش خیز و مدت زمان برخورد خواهیم بود، در حالی که در هسته معمولی عکس این حالت اتفاق می‌افتد. از طرف دیگر خاصیت سوپر الاستیسیته آلیاژ حافظه‌دار باعث می‌شود که این آلیاژ در حین ضربه با تشکیل حلقه هیترزیس انرژی زیادی را جذب کند که این امر سبب افزایش مقاومت به ضربه ورق ساندویچی کامپوزیتی و کاهش آسیب به وجود آمده در اثر ضربه می‌شود، همچنین میزان کسر حجمی مارتنتزیت، نیروی برخورد و خیز محل برخورد با افزایش انرژی ضربه‌زننده افزایش می‌یابد. مدت زمان برخورد در هنگام افزایش انرژی برخورد توسط افزایش جرم ضربه‌زننده افزایش می‌یابد، اما در حالت افزایش انرژی برخورد توسط افزایش سرعت ضربه‌زننده کاهش می‌یابد.

## 6- مراجع

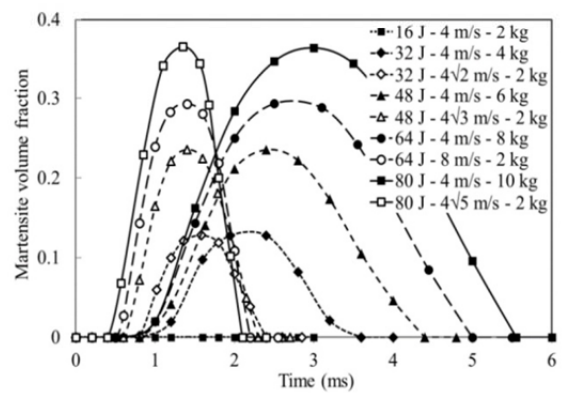
- [1] R. Ghajar, M. Shariyat, S. H. Hosseini, Nonlinear numerical elasticity analysis of eccentric low-velocity impact of a rectangular sandwich plate with composite face sheets subjected to biaxial preloads, *Solid and Fluid Mechanics*, Vol. 5, No. 1, pp. 87-99, 2015. (in Persian) (فارسی)
- [2] S. H. Hosseini, S. Khalili, 3D numerical analysis of low-velocity impact of rectangular sandwich plates with FML face sheets, *Energetic Materials*, Vol. 10, No. 3, pp. 13-25, 2015. (in Persian) (فارسی)
- [3] M. Shariyat, S. H. Hosseini, Accurate eccentric impact analysis of the preloaded SMA composite plates, based on a novel mixed-order hyperbolic global-local theory, *Composite Structures*, Vol. 124, No. 1, pp. 140-151, 2015.
- [4] H. Lei, Z. Wang, B. Zhou, L. Tong, X. Wang, Simulation and analysis of shape memory alloy fiber reinforced composite based on cohesive zone model, *Materials & Design*, Vol. 40, No. 1, pp. 138-147, 2012.
- [5] A. Masuda, Q. Q. Ni, A. Sone, R. X. Zhang, T. Yamamura, Preliminary characterization and modeling of SMA-based textile composites, *Smart Structures and Materials*, Vol. 5383, No. 1, pp. 94-102, 2004.
- [6] K. T. Lau, H. Y. Ling, L. M. Zhou, Low velocity impact on shape memory alloy stitched composite plates, *Smart Materials and Structures*, Vol. 13, No. 2, pp. 364-369, 2004.
- [7] V. Birman, Review of mechanics of shape memory alloy structures, *Applied Mechanics Reviews*, Vol. 50, No. 1, pp. 629-646, 1997.
- [8] A. Shimamoto, H. Ohkawara, F. Nogata, Enhancement of mechanical strength by shape memory effect in TiNi fiber-reinforced composites, *Engineering Fracture Mechanics*, Vol. 71, No. 4, pp. 737-746, 2004.
- [9] T. Ogiu, M. Shimanuki, S. Kiyoshima, N. Takeda, A basic study of CFRP laminates with embedded prestressed SMA foils for aircraft structures, *Intelligent Material Systems and Structures*, Vol. 16, No. 2, pp. 175-185, 2005.
- [10] S. Angioni, M. Meo, A. Foreman, Impact damage resistance and damage suppression properties of shape memory alloys in hybrid composites-a review, *Smart Materials and Structures*, Vol. 20, No. 1, pp. 1-25, 2010.
- [11] S. H. Hosseini, M. Shariyat, R. Ghajar, Numerical simulation of low-velocity impact of rectangular composite plates with embedded SMA strips, considering the instantaneous local phase changes, *Energetic Materials*, Vol. 10, No. 2, pp. 53-63, 2015. (in Persian) (فارسی)
- [12] D. C. Lagoudas, *Shape Memory Alloys: Modeling and Engineering Applications*, pp. 1-40, Texas: Springer, 2008.
- [13] W. Yongdong, Z. Weifang, W. Guorong, Z. Jing, Low velocity impact response analysis of shape memory alloy reinforced composite beam, *Wuhan*



شکل 17 تأثیر مقادیر مختلف جرم و سرعت ضربه‌زننده در سطوح مختلف انرژی بر خیز نقطه مرکزی ورق ساندویچی کامپوزیتی تقویت شده با آلیاژ حافظه‌دار و هسته آگزیتیکی



شکل 18 تأثیر مقادیر مختلف جرم و سرعت ضربه‌زننده در سطوح مختلف انرژی بر مدت زمان برخورد ورق ساندویچی کامپوزیتی تقویت شده با آلیاژ حافظه‌دار و هسته آگزیتیکی



شکل 19 تأثیر مقادیر مختلف جرم و سرعت ضربه‌زننده در سطوح مختلف انرژی بر تغییرات زمانی کسر حجمی مارتنتزیت نقطه 5 از سیم نایتینول مرکزی در رویه بالای تقویت شده با سیم‌های آلیاژ حافظه‌دار و هسته آگزیتیکی انعطاف‌پذیر از طریق

- Structures*, Vol. 4, No. 2, pp. 229-242, 1993.
- [25] K. K. Chawla, *Composite Materials: Science and Engineering*, pp. 387-417, Birmingham: Springer, 2012.
- [26] J. Turner, Contact on a transversely isotropic half-space, or between two transversely isotropic bodies, *Solids and Structures*, Vol. 16, No. 5, pp. 409-419, 1980.
- [27] S. R. Swanson, Contact deformation and stress in orthotropic plates, *Composites Part A: Applied Science and Manufacturing*, Vol. 36, No. 10, pp. 1421-1429, 2005.
- [28] S. Yang, C. Sun, Indentation law for composite laminates, *6<sup>th</sup> International Conference on Composite Materials: Testing and Design*, ASTM International, pp. 425-449, 1982.
- [29] M. R. Eslami, *Finite Elements Methods in Mechanics*, pp. 313-330, Switzerland: Springer, 2014.
- [30] P. M. Schubel, J. J. Luo, I. M. Daniel, Low velocity impact behavior of composite sandwich panels, *Composites Part A: Applied Science and Manufacturing*, Vol. 36, No. 10, pp. 1389-1396, 2005.
- [31] J. N. Reddy, *Mechanics of Laminated Composite Plates and Shells: Theory and Analysis*, Second Edition, pp. 172-193, New York: CRC Press, 2004.
- [32] C. Kleinstreuer, Z. Li, C. Basciano, S. Seelcke, M. Farber, Computational mechanics of Nitinol stent grafts, *Biomechanics*, Vol. 41, No. 11, pp. 2370-2378, 2008.
- [33] A. Shokuhfar, S. Khalili, F. A. Ghasemi, K. Malekzadeh, S. Raissi, Analysis and optimization of smart hybrid composite plates subjected to low-velocity impact using the response surface methodology (RSM), *Thin-Walled Structures*, Vol. 46, No. 11, pp. 1204-1212, 2008.
- [34] A. J. Zak, M. P. Cartmell, W. Ostachowicz, A sensitivity analysis of the dynamic performance of a composite plate with shape memory alloy wires, *Composite Structures*, Vol. 60, No. 2, pp. 145-157, 2003.
- [35] R. X. Zhang, Q. Q. Ni, A. Masuda, T. Yamamura, M. Iwamoto, Vibration characteristics of laminated composite plates with embedded shape memory alloys, *Composite Structures*, Vol. 74, No. 4, pp. 389-398, 2006.
- [36] V. Birman, I. Rusnak, Vibrations of plates with superelastic shape memory alloy wires, *Engineering Mathematics*, Vol. 78, No. 1, pp. 223-237, 2013.
- University of Technology-Materials Science Edition*, Vol. 20, No. 3, pp. 70-73, 2005.
- [14] M. Qidwai, D. Lagoudas, Numerical implementation of a shape memory alloy thermomechanical constitutive model using return mapping algorithms, *Numerical Methods in Engineering*, Vol. 47, No. 6, pp. 1123-1168, 2000.
- [15] E. H. Kim, I. Lee, J. H. Roh, J. S. Bae, I. H. Choi, K. N. Koo, Effects of shape memory alloys on low velocity impact characteristics of composite plate, *Composite Structures*, Vol. 93, No. 11, pp. 2903-2909, 2011.
- [16] J. S. Paine, C. A. Rogers, Shape memory alloys for damage-resistant composite structures, *Active Materials and Smart Structures*, Vol. 2427, No. 1, pp. 358-371, 1995.
- [17] Y. Wu, Y. Wu, Y. Wang, W. Zhong, Study on the response to low-velocity impact of a composite plate improved by shape memory alloy, *Acta Mechanica Solidia Sinica*, Vol. 20, No. 4, pp. 357-362, 2007.
- [18] V. Birman, K. Chandrashekara, S. Sain, An approach to optimization of shape memory alloy hybrid composite plates subjected to low-velocity impact, *Composites Part B: Engineering*, Vol. 27, No. 5, pp. 439-446, 1996.
- [19] S. Khalili, A. Shokuhfar, K. Malekzadeh, F. A. Ghasemi, Low-velocity impact response of active thin-walled hybrid composite structures embedded with SMA wires, *Thin-Walled Structures*, Vol. 45, No. 9, pp. 799-808, 2007.
- [20] V. Birman, Stability of functionally graded shape memory alloy sandwich panels, *Smart Materials and Structures*, Vol. 6, No. 3, pp. 278-286, 1997.
- [21] M. Shariyat, S. H. Hosseini, Eccentric impact analysis of pre-stressed composite sandwich plates with viscoelastic cores: a novel global-local theory and a refined contact law, *Composite Structures*, Vol. 117, No. 1, pp. 333-345, 2014.
- [22] M. Shariyat, A generalized global-local high-order theory for bending and vibration analyses of sandwich plates subjected to thermo-mechanical loads, *Mechanical Sciences*, Vol. 52, No. 3, pp. 495-514, 2010.
- [23] H. Chalak, A. Chakrabarti, M. A. Iqbal, A. H. Sheikh, An improved C0 FE model for the analysis of laminated sandwich plate with soft core, *Finite Elements in Analysis and Design*, Vol. 56, No. 1, pp. 20-31, 2012.
- [24] L. C. Brinson, One-dimensional constitutive behavior of shape memory alloys: thermomechanical derivation with non-constant material functions and redefined martensite internal variable, *Intelligent Material Systems and*